

## 835 直流他励電動機の電機子温度上昇について

山村 龍男 斎藤 光古 稲葉 久夫 早野 誠治  
(法政大学 工学部)

## 1. まえがき

直流他励電動機の電機子温度上昇について、簡単な実験と解析を行なったので報告する。

## 2. 本論

直流機に限らず、電気回転機の温度上昇を計算する方法として、1) 偏微分方程式による方法と2) 集中定数として計算する方法がある。1) の偏微分方程式による方法は、温度分布や熱の流れ等が詳細に算定されるが、熱源の分布や冷却空気との境界値の設定が問題で、特に熱源の分布が明確でない限り結果として算定される温度分布等の妥当性に疑問がある。一方、2) の集中定数による方法は、計算が簡単で、熱源を平均的な取り扱いを行なうために、計算結果に一応の妥当性がある。細かい分割を行なえば、集中定数による方法でも詳細な温度分布を算定できるが、やはり偏微分方程式による方法と同様に熱源の分布が明確でない限り、結果の妥当性に乏しい。従って、温度差の比較的大きな部分について電機子を分割し、電機子から冷却空気等の問題について実験式を用いて近似する集中定数形モデルが最適な方法と考える。

本報告においては、電機子をコイルエンドの部分、鉄心中のコイル部分さらに電機子鉄心部分に分割した集中定数形のモデルを考える。  
[オ1回参照]

オ1回から、熱の電気的等価回路を書くとオ2回のようになる。オ2回の熱的等価回路で、熱的な定常状態を考えると次式が成り立つ。

$$U_1 = \frac{Q_1 - U_c(\theta_1 - \theta_2)}{\theta_1} \quad \dots \dots \dots (1)$$

$$U_2 = \frac{Q_2 - U_c(\theta_2 - \theta_1) - U_o(\theta_2 - \theta_3)}{\theta_2} \quad \dots \dots \dots (2)$$

$$U_3 = \frac{Q_3 - U_c(\theta_3 - \theta_2)}{\theta_3} \quad \dots \dots \dots (3)$$

従って、上式で  $U_c$  と  $U_o$  がわかれば、一応  $U_1, U_2$  さらに  $U_3$  が各冷却状態で決定される。

$U_c$  はコイルエンド部分とスロット中のコイル部分の熱的抵抗であるから、

$$U_c = \frac{3.76 \times 2 \times \text{コイル全断面積}}{\text{鉄心長} \times \text{コイルエンド部分の長さ}} \quad [W/\deg] \quad \dots \dots \dots (4)$$

によって計算される。<sup>(1)</sup>

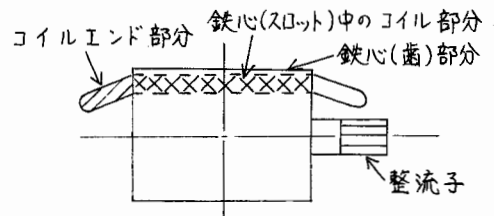
$U_o$  は、スロット中のコイル部分と鉄心部分間の熱的抵抗であるが、絶縁物等の問題があり、冷却空気との直接の接触がないにもかかわらず簡単に計算できない。よって実験により算定する。オ2回の等価回路で銅損のみを供給し、

$$K = \theta_2(t_1) - \theta_3(t_0) \quad (\doteq \theta_2(t_0) - \theta_3(t_0)) \text{ と}$$

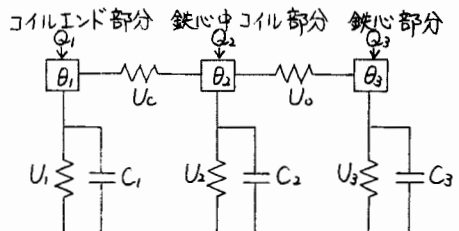
$\Delta \theta_3 = \theta_3(t_1) - \theta_3(t_0)$  を測定すると、

$$U_o = \frac{C_3 \Delta \theta_3}{K(t_1 - t_0)}$$

として算定される。<sup>(2)</sup>



オ1回 分割部分



$Q_1$ : コイルエンド部分の熱源  
—  $\frac{\text{銅損} \times \text{コイルエンド部分の平均長}}{\text{コイルの平均長}}$

$Q_2$ : 鉄心中のコイル部分の熱源

$$= \frac{\text{銅損} \times \text{鉄心長}}{\text{コイルの平均長}}$$

$Q_3$ : 鉄心部分の熱源 すなわち鉄損  $U_1, U_2, U_o, C_1, C_2, C_3$  は各部分の熱的抵抗と熱容量であり、 $U_c$  と  $U_o$  はそれぞれコイルエンド部分と鉄心中のコイル部分および鉄心中のコイル部分と鉄心間の熱的抵抗である。

オ2回 热的等価回路

よって、(4),(5)式を(1),(2)および(3)式に代入する事により、 $U_1, U_2$  および  $U_3$  が算定される。

次に、熱容量は一般に、材料の比熱を  $C_v [Ws/Kg \cdot deg]$ 、比重を  $\gamma [Kg/m^3]$  および体積を  $V [m^3]$  とすれば、

$$C = C_v \cdot \gamma \cdot V [Ws/deg]$$

によって計算される。 $C_v \cdot \gamma$  は、銅:  $3.5 \times 10^6$ 、鉄:  $3.6 \times 10^6$ 、絶縁物:  $1.8 \times 10^6 [Ws/m^3 \cdot deg]$  と仮定する。<sup>(1)</sup> 従つて、(6)式から容易に各部分の体積を分配して、 $\chi 2$  図中の熱容量  $C_1, C_2$  さらに  $C_3$  が算定される。

試験電動機の各部分の集中定数を  $\chi 1$  表に示し、さらに資料として、鉄心中のコイル部分と鉄心間の熱伝導率を  $\chi 2$  表に示す。<sup>(1)</sup>

$\chi 2$  図から、熱的過渡状態における方程式は、

$$\begin{cases} Q_1 = C_1 \frac{d\theta_1}{dt} + U_1 \theta_1 + U_0 (\theta_1 - \theta_2) \\ Q_2 = C_2 \frac{d\theta_2}{dt} + U_2 \theta_2 + U_0 (\theta_2 - \theta_1) + U_0 (\theta_2 - \theta_3) \\ Q_3 = C_3 \frac{d\theta_3}{dt} + U_3 \theta_3 + U_0 (\theta_3 - \theta_2) \end{cases} \quad \text{--- (7)}$$

となる。

実験値と(7)式から求めた計算値の比較を  $\chi 3$  図に示す。  $U_1, U_2, U_3$  および  $U_0$  を実験的に求めているために当然定常状態における値は一致するが、一方過渡状態における値も比較的よく一致している。

### 3. 結 言

本報告では、直流機の電機子温度上昇の計算には集中定数形のモデルが最適であると考え、各集中定数を比較的簡単な実験によって算定できることを示し、さらにこの妥当性について、計算値と実験値の比較を行なった。本報告は、直流他励電動機の電機子温度上昇に関する  $\chi 1$  段階として研究した結果であり、 $\chi 2$  段階として実験によらず、計算によって等価回路定数を算出する方法を検討する予定である。<sup>(1)</sup>

### 参考文献

- (1) 山崎正悟：車両用主電動機の電機子温度特性計算法 鉄研報告 No. 891 (1974年3月)

または、

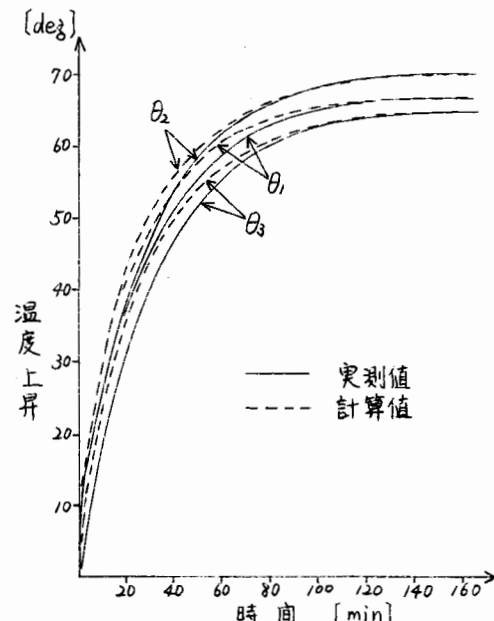
山崎、山村：車両用主電動機の電機子温度特性計算法 電学論B Vol. 95 No. 9 (昭和50年9月)

- (2) 山村、他：電機子スロット中のコイルと鉄心間の熱伝達 昭和52年度電気学会全国大会予稿集

$\chi 1$ 表 各定数	
風量	2.5 [m³/min]
電機子電流	27 [A]
界磁電流	2.7 [A]
回転数	1150 [r.p.m.]
$C_1$	594 [Ws/deg]
$C_2$	557 [Ws/deg]
$C_3$	2743 [Ws/deg]
$U_c$	5.05 [W/deg]
$U_o$	11.0 [W/deg]
$U_1$	1.93 [W/deg]
$U_2$	0.92 [W/deg]
$U_3$	1.19 [W/deg]
$Q_1$	112.0 [W]
$Q_2$	132.0 [W]
$Q_3$	19.5 [W]

$\chi 2$  表 热伝導率  $\lambda_0 [W/m \cdot deg]$

MT 200	0.24
MT 916	0.27
MT 52	0.19
MT 52A	0.29
本報告の試験電動機	0.16
MT	は国鉄列車用主電動機の形式を示す。



$\chi 3$  図  $\chi 1$  表の条件における計算結果